





T			U_f	I_f	Cl.	U_b	$R_1^{1)}$	$R_2^{1)}$	U_a	$U_{g^{2+4}}$	U_{g1}	I_a	$I_{g^{2+4}}$	I_{g3}	$S_c(S)$	μ	R_i	R_{g3}	R_k			
			V	A		V	k Ω	k Ω	V	V	V	mA	mA	mA	μ A/V	V/V	M Ω	k Ω	Ω			
ECH 2	eur	1/2	6,3	0,9	{ mixer-hept. stat.-triode.	250	8,5	10	250	100	-2,5 ÷ -25	3,25	6	0,2	750 ÷ 7,5 (5500)	17,5	1,5	50	140			
						100	35	100	100	40	-1 ÷ -8,8	0,75	1,2	0,165	470 ÷ 4,7	1	30	300				
						200	35	100	200	87	-2 ÷ -15,8	1,7	2,2	0,33	590 ÷ 5,9	1	30	300				
ECH 11	eur	4	6,3	0,2	{ mixer-hex. mixer-hex. mixer-hex. stat.-hex. osc.-triode. osc.-triode. osc.-triode. stat.-triode. stat.-triode.	250	35	60	250	95	-2 ÷ -16	2,2	2,8	0,33	640 ÷ 6,4	1	30	250				
						300			300	125	maximum ($I_k=18\text{mA}; P_a=1,8\text{W}; P_{g^{2+4}}=0,6\text{W}; U_{f/k}=100\text{V}$)											
						100	$R_{aT} =$ $= 30 \text{ k}\Omega$		64	1,2												30
						200		122	2,6												30	
						250		148	3,4												30	
						100		100	11	0							(2800)	20				
150																						

¹⁾ vide Fig. 1

T.			U_f	I_f	Cl.	U_b	$R_1^{1)}$	$R_2^{1)}$	U_a	U_{g2+4}	U_{g1}	I_a	I_{g2+4}	I_{g3}	$S_c(S)$	μ	R_i	R_{g3}	R_k					
			V	A		V	k Ω	k Ω	V	V	V	mA	mA	mA	$\mu A/V$	V/V	M Ω	k Ω	Ω					
CCH 35 ECH 3 ECH 33 UTH 1 12 E 8 MGT	eur	3	7	0,2	mixer-hex. mixer-hex. mixer-hex. stat.-hex. osc.-triiod. osc.-triiod. stat.-triiod. stat.-triiod.	100	19	54	100	55	-1,25 ÷ -13,5	1	1,4	0,2	450 ÷ 4,5		1,3	50	210					
						200	19	54	200	100	-2 ÷ -23,5	3	3	0,2	650 ÷ 6,5		0,9	50	210					
						250	24	33	250	100	-2 ÷ -23,5	3	3	0,2	650 ÷ 6,5		1,3	50	215					
						250	—	—	250	100	-2 ÷ -17	3	3	0,2	650 ÷ 6,5		1,3	50	215					
						300			300	125	maximum ($I_{k(H+T)}=15mA; P_a=1,2W; P_{g2+4}=0,6W; U_{fk}=100V$)													
						100			100		3,3			0,2									50	
X 61 M X 71 M X 76 M	MOG	3	6,3	0,3	mixer-hex. osc.-triiod.	250	15	10	250	100	-3 ÷ -25	3,5	3		620 ÷ 5		0,7	50	200					
						250			250			3,5			($R_{aT}=30 k\Omega$)									
X 62	MOG	3	6,3	1,27	mixer-hex.			250	120	-1,5	$(I_{k(H+T)}=18mA)$		1750		0,33		100							
6 C 31	Maz	3	6,3	0,83	mixer-hex. mixer-hex. osc.-triiod. stat.-triiod.	250			250	100	-2,5 ÷ -43	3,8	7,5		870 ÷ 3		1,2	50						
						250			250	100	-3 ÷ -43	3	6		750 ÷ 3		1,6	50						
						80			80			5												
					stat.-triiod.	100				0	23		(5300)	16										
6 P 8 G	Bri	3	6,3	0,8	mixer-hex. osc.-triiod.	250			250	80	-3	2,2	3	0,25	650		0,7	50	200					
						100			100			2,3												
6 TH 8	Tu	3	6,3	0,6	mixer-hex. osc.-triiod.	250			250	80	-1,5 ÷ -25	5,5	6	0,48	1000 ÷ 1		1	25	150					
						100			100			4		0,48	(1200)			25						

1) vide Fig. 1

Equivalents

ECH 3 B	eur = ECH 33	OM 10	Cos = ECH 33
ECH 3 F	eur = ECH 3	WE 20	Tlf = ECH 2
ECH 3 G	eur = ECH 33	X 61	Marc = X 61 M
ECH 3 S	eur = ECH 33	X 76	Marc = X 76 M
ECH 35	eur = ECH 33	X 147	Marc = ECH 33
E 1416	Marc = X 61 M	6 E 8-G	eur = ECH 33
KTZ 61	Marc ≈ X 61 M	6 E 8-MG	eur = ECH 33

T.		C_{g1}	C_a	$C_{g1/a}$	$C_{g1/f}$	$C_{g1/gT}$
		pF	pF	pF	pF	pF
ECH 3	hex.	4,9	9	0,003	0,001	0,3
	triode.	8,8	4,4	1,4		
ECH 11	hex.	5,3	9,1	0,001	0,001	0,25
	triode.	8,3	3,7	1,6	0,3	
ECH 33	hex.	5	10	0,003	0,001	0,3
	triode.	9	5	1,6		
X 61 M	hex.	4,9	11,5			
	triode.	10,5	6			
6 C 31	hex.	9,5	13	0,0012		0,09
	triode.	11,5	4,4	3		

